

北海道大学工学部 王員忠 枝倉忠興  
北海道大学工学部 正員岸 力

**緒言** 著者らは第32回年次講演会<sup>1)</sup>において、河床砂の搬上りに対する Lane-Katzinske 及び岸のモデルを参考にして、河床の粒子に作用する揚力の変動成分にひとつの仮定を行ない、浮遊砂の基準点濃度式を導いた結果を報告した。本文ではその仮定を取除いたより一般的な解法を行なつてみる。結果的には前回と殆んど同一となり、実際の現象を良く説明している。また、浮遊限界ヒツリでは、先に提案した Monin-Obukhov Length を取り入れた解析方法<sup>2)</sup>を適用し、乱れの実測結果と合せて検討を行なった。

## 1. 漂遊砂の基準点濃度

第32回年譜概要の(1)式以下を次のように変更する。 河床粒子の初速度  $V_0$  は  $r'$  を無次元化した揚力  $r$  の変動成分として  $V_0 = \frac{g}{t_0} \frac{g - g}{r'} g \left\{ (1 + r') \frac{\sqrt{g}}{t_0} - L \right\}$  (1)

初速度の平均値は

$$\overline{U_0} = \left\{ \int_{r=1}^{\infty} U_0 \cdot \frac{1}{\frac{1}{2\pi r^2}} \exp\left(-\frac{r^2}{2\sigma^2}\right) dr' \right\} / \left\{ \int_{r=1}^{\infty} \frac{1}{\frac{1}{2\pi r^2}} \exp\left(-\frac{r^2}{2\sigma^2}\right) dr' \right\} \quad (2)$$

(1), (2) および

$$\bar{J}_0 = t_* \frac{f_s - f}{f_s} + \left\{ \frac{\bar{I}_0}{B_*} \frac{1}{\int_{-\infty}^0 \frac{1}{B_*} \exp(-z^2) dz} + \frac{\bar{I}_0}{B_* \tau_0} - 1 \right\}, \quad a' = \frac{B_*}{\bar{I}_0} - \frac{1}{\tau_0}. \quad (3)$$

単位時間・単位面積当たり、浮上する粒子群の体積と沈降する体積とが等しいことを、基準点濃度  $C_0$  体

$$C_b = K \left\{ \alpha + \frac{P_s - P_i}{P_s} q \frac{d}{4\pi} \frac{\Omega}{V_0} - 1 \right\} \quad (4), \quad \Omega = \frac{\bar{T}_k}{B_k} \frac{\int_{-\infty}^0 \frac{1}{\sqrt{2\pi}} \exp(-z^2) dz}{\int_0^\infty \frac{1}{\sqrt{2\pi}} \exp(-z^2) dz} + \frac{\bar{T}_k}{B_k T_0} - 1 \quad (5)$$

(4) 式(32)回年譜の(15)式と同一であります。且は(5)式と存す。  
 $W_0$ : 粒子の沈降速度。

## 2. 定数の決定

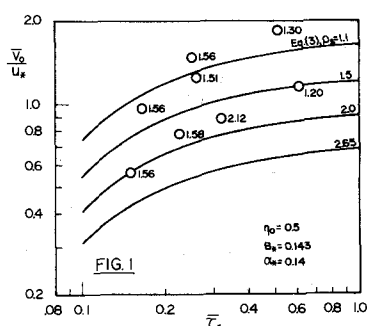
(4), (5) 式は  $T_0$ ,  $B_0$ ,  $\alpha_0$ ,  $K$  の 4 個の定数を含む。Einstein の解析を参考して  $T_0 = 0.5$ ,  $B_0 = 0.143$  を採用した。

$\alpha_* = 0.14$ ：揚力の変動を discrete な時間間隔で区切り、その各々の“試行”によって河床からの粒子の離脱の判定を行なうことをいふ。 $T_k = \Delta x / U_k$  であり著者らの実測例で試算を行なうと、 $d = 0.12 \sim 0.23$  mm,  $U_k = 2 \sim 5$  cm/sec に付し  $1/T_k = 600 \sim 3,000$  Hz。現在行なわれている雨水路水流の乱流解析においては、変動の最高周波数は 500 Hz 程度と考えられて居り、それよりも充分高い周波数によつて、連続な変動を discrete な変動に置換えて考察したことによる誤差はないと考えてよい。

以上の3個の定数を用い、(3)式によつて計算を行なつた結果を図-1に示す。図中の描点は人工の粒子を用いた saltation の実験の結果であり良好に一致が見られる。(数値は粒子の確率 %)

$K = 0.008$ :  $K$  の内容体  $K = \frac{2}{3} k_1/k_2$ ,  $N$ (露出個数) =  $k_1/\pi d^2$ ,  $t$ (粒子挙  
摸の特性時間) =  $k_2 d / (V_0 - W_0)$ . Chepil, Whiteによれば  $k_1 = 0.21 \sim 0.35$ ,  
岸(?)によれば掃流運動に対して  $k_2 = 2.3 \sim 3.5$  で有る。 $K = 0.008$  から  
 $k_2$  を運算すると  $k_2 = 18 \sim 30$  が得る。即ち、河床から拾上げられた粒  
子のうち浮遊砂の分類に属するもの体積 8~20% と言える。

鉛粉とアスファルトがうる人工の粒子による実験結果によれば、粒子の運動は“saltation”と“転動”に大別されるが、saltation に対する中には図-2のようを軌跡を描くものが見られる。ここで、図-2のようを



運動を行なう粒子は掃流から浮遊へ移行する微候を示すものと考え、実験からその数を読みた。総測定数318個のうち、この運動を行なう粒子の“saltation”中に占める割合は12~23%であった。これと前進の割合とは同一であり、 $K$ の値も妥当であると考える。尚、この実験は  $\bar{U}_k = U_k^2 / (L-1) \cdot qd = 0.09 \sim 0.12$  であり、浮遊筋が卓越し始めた領域である。図-3に(4),(5)式による  $C_b$  と実測値とを比較して示した。

### 3. 浮遊限界と乱れ特性の変化

渦動粘性係数（運動量輸送係数） $\epsilon_m$ は

$$\epsilon_m = U_k^2 \left(1 - \frac{q}{L}\right) / \frac{du}{dy} \quad (6)$$

(6)式に既報<sup>3)</sup>の流速分布を代入し、 $\phi_2 = \alpha h/L$ ,  $\eta = q/h$  とすれば

$$\begin{aligned} \epsilon_m &= K U_k h \cdot \eta (1-\eta) (1+\phi_2 \eta)^{-1} \\ &= K U_k h \cdot \eta (1-\eta) (1+\phi_2 \eta) (1+\phi_2 \eta)^{-1} \end{aligned} \quad (7)$$

(7)式によれば  $1-\phi_2 \eta = 0$  のとき  $\epsilon_m = 0$  となって乱流運動が消滅する。この場合の Hux-Richardson 数は  $R_{fc} = 1/\alpha(\eta+1)$  となり、 $\eta$ に関する平均は約0.09である。ところが、本来  $\eta$  は  $R_f$  の関数であるが、これをひとつの流れを代表する量として不適切なので、32回年譲<sup>1)</sup>では  $R_f$  中で  $\eta = h$ ,  $L$  には  $C = \bar{C}$  として実測結果から  $R_{fc} = 0.02$  を得た。即ち、

$$R_f = \frac{h}{L} \left(1 + \alpha \frac{h}{L}\right)^{-1} = \frac{\phi_2}{\alpha} (1+\phi_2)^{-1}, \quad \frac{1}{L} = \frac{K \eta (t-1) W_0 \bar{C}}{U_k^3} \quad (8)$$

(8)式で  $1 \ll \alpha h/L$  により  $R_f \sim \frac{h}{L} \sim C$  であり、 $R_f$  と  $C$  に直線比例である。一般に開水路の浮遊筋濃度分布全体  $C = \bar{C}$  は  $\eta = 0.3 \sim 0.4$  に出現し、その際  $\eta = 0.05 \sim 0.15$  では  $C = 4\bar{C} \sim 5\bar{C}$  となる。以上のことをより定義して  $R_{fc} = 0.02$  を限界値とする。

一般に乱流剪断力で、混合長  $l$  として

$$\frac{du}{dy} = \sqrt{\frac{I}{S}} \frac{1}{l} \sim \frac{U_k}{l} \quad (9)$$

乱れのステークル及公禍の寿命時間は、清水流に滞空0.3付近でそれと並

$$\frac{l}{l_0} = \frac{\left(\frac{U_k}{dq/dy}\right)}{\left(\frac{U_k}{dq/dy}\right)_0} = \left(1 + \alpha \frac{q}{L}\right)^{-1} = (1+\phi_2 \eta)^{-1} \quad (10)$$

$$\frac{t}{t_0} = \frac{\left(\frac{l}{l_0}\right)}{\left(\frac{l}{l_0}\right)_0} = \frac{l}{l_0} \frac{\left(\frac{U_k^2}{dq^2/dy^2}\right)_0}{\left(\frac{U_k^2}{dq^2/dy^2}\right)} = \frac{\left(\frac{U_k^2}{dq^2/dy^2}\right)_0}{\left(\frac{U_k^2}{dq^2/dy^2}\right)} \cdot (1+\phi_2 \eta)^{-1} \quad (11)$$

図-4: 乱れのステークル、図-5: 乱れの強度、図-6: 清水流に滞空0.3付近でそれと並ぶ乱れの強度と公禍の寿命時間に実測値との比較を示す。図-6の描点は(11)式に図-5で示した乱れ強度の実測値を代入した結果である。これらの図より乱れの諸量は  $R_f = 0.02$  附近から急激に増加してなることが判る。

本研究には文部省科研費（総合A、代表者・中央大学・林泰造教授）の援助を受けた。  
参考文献：1) 第32回年譲、II-212, 1977。2) 第24回年譲、II-85, 1966。3) 第30回年譲、II-153, 1975。4) 第31回年譲 II-171, 1976。

